

Starkniederschlagshöhen und -spenden gemäß KOSTRA-DWD-2010R

Auswertungszeitraum von 1951 - 2010, Januar - Dezember

Rasterfeld: 55024

Zeile: 55

Spalte: 24

Seite: 1/2

| Dauerstufe D | | Wiederkehrzeit T | | | | | | | | | | | | | | | | | |
|--------------|-----|------------------|------------|------|------------|------|------------|------|------------|------|------------|------|------------|------|------------|------|------------|-------|------------|
| | | 1 a | | 2 a | | 3 a | | 5 a | | 10 a | | 20 a | | 30 a | | 50 a | | 100 a | |
| min | Std | mm | l / (s ha) | mm | l / (s ha) | mm | l / (s ha) | mm | l / (s ha) | mm | l / (s ha) | mm | l / (s ha) | mm | l / (s ha) | mm | l / (s ha) | mm | l / (s ha) |
| 5 | | 4,7 | 156,7 | 6,8 | 226,7 | 8,1 | 270,0 | 9,6 | 320,0 | 11,7 | 390,0 | 13,8 | 460,0 | 15,0 | 500,0 | 16,6 | 553,3 | 18,7 | 623,3 |
| 10 | | 7,6 | 126,7 | 10,3 | 171,7 | 11,9 | 198,3 | 13,9 | 231,7 | 16,6 | 276,7 | 19,3 | 321,7 | 20,9 | 348,3 | 22,8 | 380,0 | 25,5 | 425,0 |
| 15 | | 9,6 | 106,7 | 12,7 | 141,1 | 14,5 | 161,1 | 16,8 | 186,7 | 20,0 | 222,2 | 23,1 | 256,7 | 24,9 | 276,7 | 27,2 | 302,2 | 30,3 | 336,7 |
| 20 | | 11,0 | 91,7 | 14,5 | 120,8 | 16,5 | 137,5 | 19,0 | 158,3 | 22,5 | 187,5 | 25,9 | 215,8 | 28,0 | 233,3 | 30,5 | 254,2 | 34,0 | 283,3 |
| 30 | | 12,9 | 71,7 | 16,9 | 93,9 | 19,2 | 106,7 | 22,2 | 123,3 | 26,2 | 145,6 | 30,2 | 167,8 | 32,5 | 180,6 | 35,5 | 197,2 | 39,5 | 219,4 |
| 45 | | 14,6 | 54,1 | 19,2 | 71,1 | 21,9 | 81,1 | 25,3 | 93,7 | 30,0 | 111,1 | 34,6 | 128,1 | 37,3 | 138,1 | 40,7 | 150,7 | 45,3 | 167,8 |
| 60 | | 15,6 | 43,3 | 20,7 | 57,5 | 23,7 | 65,8 | 27,5 | 76,4 | 32,6 | 90,6 | 37,8 | 105,0 | 40,8 | 113,3 | 44,6 | 123,9 | 49,7 | 138,1 |
| 90 | | 17,1 | 31,7 | 22,5 | 41,7 | 25,6 | 47,4 | 29,6 | 54,8 | 35,0 | 64,8 | 40,4 | 74,8 | 43,6 | 80,7 | 47,6 | 88,1 | 53,0 | 98,1 |
| 120 | 2 | 18,2 | 25,3 | 23,8 | 33,1 | 27,1 | 37,6 | 31,2 | 43,3 | 36,8 | 51,1 | 42,4 | 58,9 | 45,7 | 63,5 | 49,8 | 69,2 | 55,4 | 76,9 |
| 180 | 3 | 20,0 | 18,5 | 25,8 | 23,9 | 29,3 | 27,1 | 33,6 | 31,1 | 39,5 | 36,6 | 45,4 | 42,0 | 48,9 | 45,3 | 53,2 | 49,3 | 59,1 | 54,7 |
| 240 | 4 | 21,3 | 14,8 | 27,4 | 19,0 | 31,0 | 21,5 | 35,5 | 24,7 | 41,6 | 28,9 | 47,7 | 33,1 | 51,3 | 35,6 | 55,8 | 38,8 | 61,9 | 43,0 |
| 360 | 6 | 23,3 | 10,8 | 29,7 | 13,8 | 33,5 | 15,5 | 38,2 | 17,7 | 44,7 | 20,7 | 51,1 | 23,7 | 54,8 | 25,4 | 59,6 | 27,6 | 66,0 | 30,6 |
| 540 | 9 | 25,5 | 7,9 | 32,3 | 10,0 | 36,2 | 11,2 | 41,2 | 12,7 | 48,0 | 14,8 | 54,7 | 16,9 | 58,7 | 18,1 | 63,7 | 19,7 | 70,4 | 21,7 |
| 720 | 12 | 27,2 | 6,3 | 34,2 | 7,9 | 38,3 | 8,9 | 43,5 | 10,1 | 50,5 | 11,7 | 57,5 | 13,3 | 61,6 | 14,3 | 66,8 | 15,5 | 73,8 | 17,1 |
| 1080 | 18 | 29,8 | 4,6 | 37,2 | 5,7 | 41,5 | 6,4 | 46,9 | 7,2 | 54,3 | 8,4 | 61,7 | 9,5 | 66,0 | 10,2 | 71,4 | 11,0 | 78,8 | 12,2 |
| 1440 | 24 | 31,8 | 3,7 | 39,4 | 4,6 | 43,9 | 5,1 | 49,6 | 5,7 | 57,2 | 6,6 | 64,8 | 7,5 | 69,3 | 8,0 | 75,0 | 8,7 | 82,6 | 9,6 |
| 2880 | 48 | 38,4 | 2,2 | 47,1 | 2,7 | 52,2 | 3,0 | 58,6 | 3,4 | 67,3 | 3,9 | 76,0 | 4,4 | 81,1 | 4,7 | 87,6 | 5,1 | 96,3 | 5,6 |
| 4320 | 72 | 42,8 | 1,7 | 52,1 | 2,0 | 57,6 | 2,2 | 64,5 | 2,5 | 73,8 | 2,8 | 83,2 | 3,2 | 88,7 | 3,4 | 95,6 | 3,7 | 104,9 | 4,0 |

Angaben in mm: Bemessungsniederschlagswerte h(n)

Angaben in l / (s ha): Regenspende R(n) mit $R(n) = h(n) \times 1,666667 / D[\text{min}]$

Toleranzbereiche:

+/- 10 % für $1 \text{ a} \leq T \leq 5 \text{ a}$

+/- 15 % für $5 \text{ a} < T \leq 50 \text{ a}$

+/- 20 % für $50 \text{ a} < T \leq 100 \text{ a}$

Datenbasis: KOSTRA-DWD-2010R des Deutschen Wetterdienstes. Die Regenspende wurde auf Basis des Bemessungsniederschlags zur jeweiligen Andauer berechnet.

Für die Richtigkeit und Aktualität der Angaben wird keine Gewähr übernommen. Erstellt 07/2022.

Starkniederschlagshöhen und -spenden gemäß KOSTRA-DWD-2010R

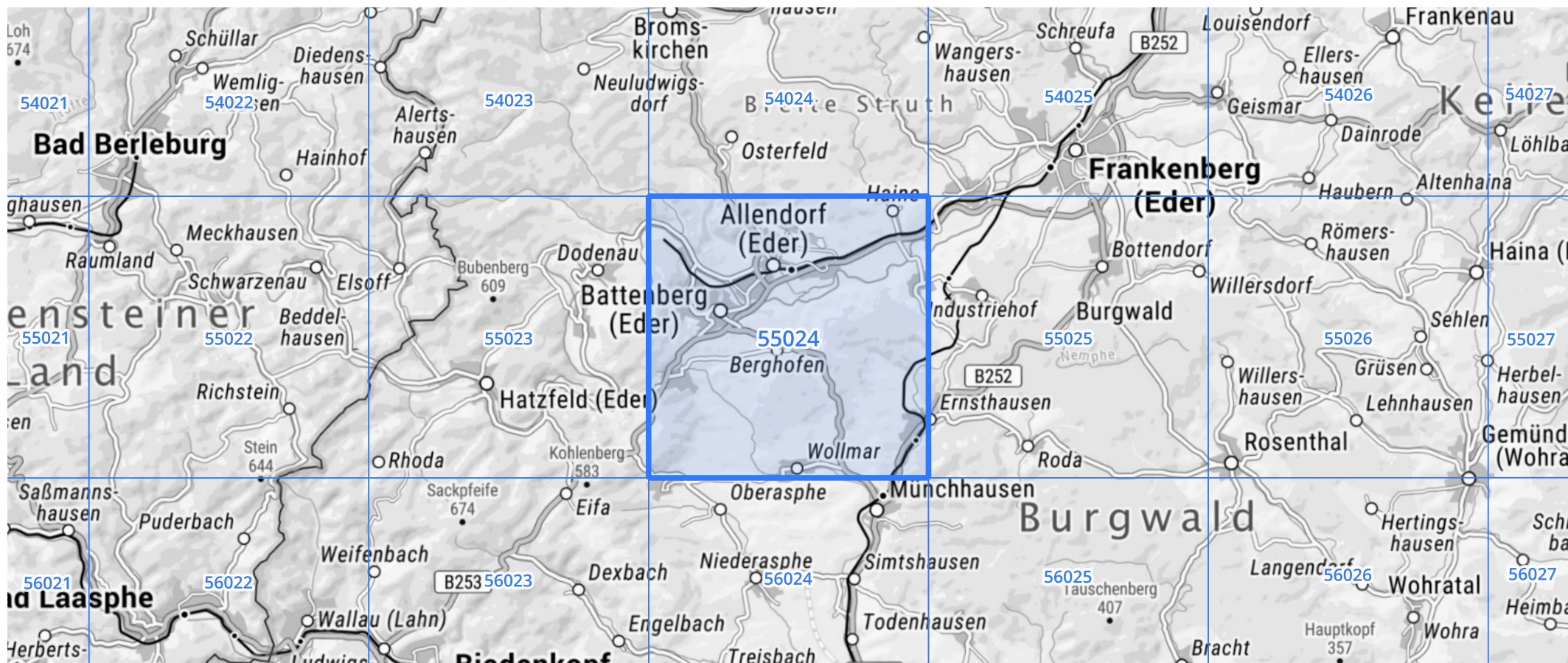
Auswertungszeitraum von 1951 - 2010, Januar - Dezember

Rasterfeld: 55024

Zeile: 55

Spalte: 24

Seite: 2/2



Quelle Rasterdaten: KOSTRA-DWD-2010R des Deutschen Wetterdienstes.

Kartendarstellung: © Bundesamt für Kartographie und Geodäsie (2022), Datenquellen: https://sgx.geodatenzentrum.de/web_public/gdz/datenquellen/Datenquellen_TopPlusOpen.html

Für die Richtigkeit und Aktualität der Angaben wird keine Gewähr übernommen. Erstellt 07/2022.